

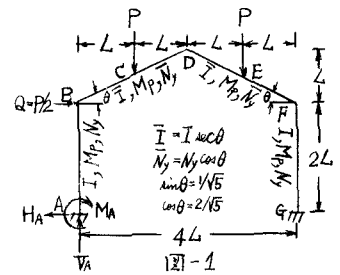
九州大学 正員 山崎徳也
 〃 学生員 石川信隆
 〃 〃 〃 松隈秀信

1. 緒言

屋根型骨組構造物に対する既往の塑性設計法^(1,2,3)では、風荷重および雪荷重を固定荷重に換算しているが、実際にはこれら荷重を変動くり返し荷重として取扱うべきであり、かかる荷重による崩壊現象を解明する必要がある。本研究は上記観点より、まず曲げと軸力を同時に考慮した降伏条件式³⁾を用いて、変動くり返し荷重を受ける山形ラーメンの変形硬化荷重ならびに交替塑性荷重を求め、次にこれら荷重と塑性設計法にいう崩壊荷重とを比較検討するとともに、軸力の3種荷重に与える影響を考察し、さらに最小重量設計法を用いて経済的な変断面を決定せしとするものである。

2. 山形ラーメンの崩壊

図-1に示すごとき矩形等断面をもつ山形ラーメンに2個の鉛直荷重 P および水平荷重 $Q(=P/2)$ が作用する場合について、曲げと軸力を同時に考慮した降伏条件式による崩壊荷重、変形硬化荷重および交替塑性荷重の算定手法を解説すれば以下のごとくである。



(1) 崩壊荷重の算定

まず図-1のA端の曲げモーメント M_A 、水平反力 H_A および垂直反力 V_A を未知量に選べば、A, B, C, D, E, F, G 稜の曲げモーメントおよび AB, BC, CD, DE, EF, FG 部材の軸力はそれぞれ次式のごとく表わされる。

$$\begin{aligned}
 M_A &= M_A, & N_{AB} &= V_A \\
 M_B &= M_A + 2H_A L, & N_{BC} &= (1/2 P - H_A) \cos \theta + V_A \sin \theta \\
 M_C &= M_A + 5/2 H_A L + V_A L - 1/4 P L, & N_{CD} &= (1/2 P - H_A) \cos \theta - (P - V_A) \sin \theta \\
 M_D &= M_A + 3H_A L + 2V_A L - 3/2 P L, & N_{DE} &= (1/2 P - H_A) \cos \theta + (P - V_A) \sin \theta \\
 M_E &= M_A + 5/2 H_A L + 3V_A L - 7/4 P L, & N_{EF} &= (1/2 P - H_A) \cos \theta + (2P - V_A) \sin \theta \\
 M_F &= M_A + 2H_A L + 4V_A L - P L, & N_{FG} &= 2P - V_A \\
 M_G &= M_A + 4V_A L - 3P L, & &
 \end{aligned} \quad (1)$$

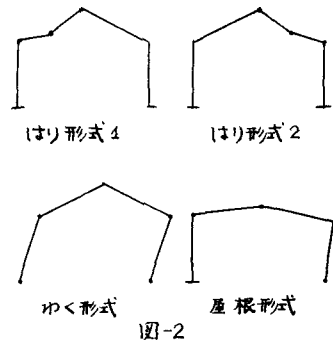
ただし、曲げモーメントは内側引張を正、軸力は正圧力を正とする。

つきにこの崩壊形式は図-2に示すごとき4個の基本崩壊形式をも含めて24個考えられるが、ここではHeymanの方法により稜の崩壊形式を図-3(a)のごとく見出せば、図-3(a)のA, C, F, G稜の曲げモーメントおよび軸力は次の曲げと軸力を同時に考慮した降伏条件式をそれぞれ同時に満足することとなる。

$$|M/M_p| + (N/N_y)^2 = 1 \quad (2)$$

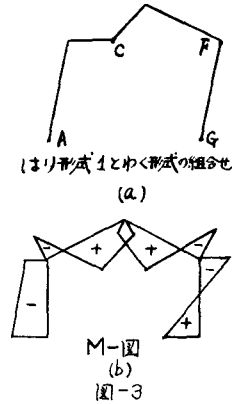
ただし M_p : 塑性曲げモーメント, N_y : 軸力のみによる全断面降伏力

式(2)に式(1)の $M_A, M_B, M_C, M_D, M_E, M_F, M_G$ および $N_{AB}, N_{BC}, N_{CD}, N_{DE}, N_{EF}, N_{FG}$ を代入すれば



ば、次のとき4元連立2次方程式かえりれる。

$$\left. \begin{aligned}
 &A \text{ 点で} && -M_A + V_A^2 = 1 \\
 &C \text{ 点で } N_{c0} \geq N_{c0} : && M_A + 5/2 \beta H_A + \beta V_A - \beta/4 R_c + (1/2 R_c - H_A) + V_A \tan \theta)^2 = 1 \\
 & && N_{c0} > N_{c0} : && M_A + 5/2 \beta H_A + \beta V_A - \beta/4 R_c + (1/2 R_c - H_A) - (R_c - V_A) \tan \theta)^2 = 1 \\
 &F \text{ 点で } N_{f0} \geq N_{f0} : && -M_A - 2\beta H_A - 4\beta V_A + 4\beta R_c + (1/2 R_c - H_A) + 2R_c - V_A \tan \theta)^2 = 1 \\
 & && N_{f0} > N_{f0} : && -M_A - 2\beta H_A - 4\beta V_A + 4\beta R_c + 2R_c - V_A^2 = 1 \\
 &G \text{ 点で} && M_A + 4\beta V_A - 3\beta R_c + (2R_c - V_A)^2 = 1
 \end{aligned} \right\} (3)$$



ただし $M_A = M_A/M_p$, $H_A = H_A/N_y$, $V_A = V_A/N_y$, $R_c = R_c/N_y$, $\beta = N_y/L/M_p = 4/LH_c$
 H_c : 柱の断面高さ

よって式(3)を連立に解けば未知量 M_A, H_A, V_A および所要の崩壊荷重 R_c がえり

れることとなり、さらに軸力無視の場合の R_c を求めるには、式(2)で $N = 0$ について式(3)で2条の項を全て省略して解けばよいこととなる。

(2) 変形硬化荷重の算定

図-1のラーメンに鉛直荷重 P および水平荷重 Q が $J = P = W$ および $O = Q = W/2$ (W : 一定の荷重値)の範囲内で変動くり返し作用するものとすれば、塑性変形が起、た後に弾性的な応答を示すいわゆる *Shake-down* するときの変形硬化荷重は以下のごとく求めりれる。

まず、 P と Q とがそれぞれ単独に作用する場合および P と Q が同時に作用する場合の田げモーメントおよび軸力を弾性解析より求め、弾性時における最大、最小田げモーメント M_{max}^E, M_{min}^E およびこれらに対応する軸力 N^E を選べば表-1がえりれる。

表-1

P	Q	M_A^E	M_C^E	M_F^E	M_G^E	M_A^E	M_C^E	M_F^E	M_G^E	N_{c0}^E	N_{fc}^E	N_{c0}^E	N_{fc}^E	N_{c0}^E
W	0	0.357WL	-0.480WL	0.311WL	0.102WL	0.311WL	-0.480WL	0.357WL	1.000W	0.822W	0.374W	0.374W	0.822W	1.000W
0	W/2	-0.380W	0.269W	0.087W	-0.095W	-0.100W	-0.106W	0.245W	-0.094W	0.115W	0.115W	0.199W	0.199W	0.094W
W	W/2	-0.023W	-0.211W	0.378W	0.007W	0.211W	-0.586W	0.602W	0.906W	0.937W	0.489W	0.573W	1.021W	1.094W
M_{max}^E	N^E	0.357W	0.269W	0.378W	0.102W	0.311W	0	0.602W	1.000W	0.937W	0.489W	0.374W	0	1.094W
M_{min}^E	N^E	-0.380W	-0.480W	0	-0.095W	-0.100W	-0.586W	0	-0.094W	0.822W	0	0.199W	1.021W	0

一方、塑性変形により図-1のA点に残留田げモーメント M_A^R , 残留水平反力 H_A^R , 残留垂直反力 V_A^R が生ずるものとすれば、同図の各点における残留田げモーメント M_i^R および各部材の残留軸力 N_i^R (は、式(1)に $P = 0, M_A = M_A^R, H_A = H_A^R, V_A = V_A^R$ を代入した値に合致する。したかつて各点々実際の田げモーメント M_i および各部材の実際の軸力 N_i は弾性田げモーメント M_i^E および軸力 N_i^E と上記 M_i^R および N_i^R とを加算することによってえりれることとなる。すなわち、

$$M_i = M_i^E + M_i^R, \quad N_i = N_i^E + N_i^R \quad (4)$$

次に、変動くり返し荷重をうける真の崩壊形式を2.1)と同様にHeymanの方法を用いて決定すれば、図-3(a),(b)と全く同じ崩壊形式およびM-図がえりれる。A, C, F, G点に塑性コンジカ形成されていることか分かるゆえ、表-1の $M_{max}^E, M_{min}^E, M_{max}^R, M_{min}^R$ およびこれらに対する $N_{c0}^E, N_{fc}^E, N_{c0}^R, N_{fc}^R$ を用うれば、結局実際の田げモーメントおよび軸力 M_i が式(4)より次式のごとく表わりれる。

$$\left. \begin{aligned}
 M_A &= -0.380WL + M_A^R, & N_A &= -0.094W + V_A^R \\
 M_C &= 0.398WL + M_C^R + 5/2 H_A^R L + V_A^R, & N_C &= 0.937W - H_A^R \cos \theta + V_A^R \sin \theta
 \end{aligned} \right\} (5)$$

$$\left. \begin{aligned} M_{px} &= -0.586W_L + M_A^R + 2H_A^R L + 4V_A^R, & N_{px} &= 1.021W - H_A^R \cos \theta - V_A^R \sin \theta \\ M_{py} &= 0.602W_L + M_A^R + 4V_A^R, & N_{py} &= N_g = 1.094W - V_A^R \end{aligned} \right\}$$

よ、ア式(5)を式(2)に代入すれば式のごとき4元連立2次方程式アえられ、これをNewtonの逐次近似法によつて解けば、所要の変形硬心荷重 W_R がえられることとなる。すなわち、

$$\left. \begin{aligned} \text{A点で} & \quad 0.380\beta W_R - M_A^R + (-1.094W_L + V_A^R)^2 = 1 \\ \text{C点で} & \quad 0.398\beta W_R + M_A^R + 5.12\beta H_A^R + 3V_A^R + 0.937W_L \sec \theta - H_A^R + V_A^R \tan \theta)^2 = 1 \\ \text{F点で } N_{px}/N_{py} & \quad 0.586\beta W_R - M_A^R - 2\beta H_A^R - 4\beta V_A^R + (1.021W_L \sec \theta - H_A^R - V_A^R \tan \theta)^2 = 1 \\ N_{px}/N_{py} & \quad 0.586\beta W_R - M_A^R - 2\beta H_A^R - 4\beta V_A^R + (1.094W_L - V_A^R)^2 = 1 \\ \text{G点で} & \quad 0.602\beta W_R + M_A^R + 4\beta V_A^R + (1.094W_L - V_A^R)^2 = 1 \end{aligned} \right\} (6)$$

ただし $W_R = W_0/N_y$, $M_A^R = M_A^R/M_p$, $H_A^R = H_A^R/N_y$, $V_A^R = V_A^R/N_y$

(3) 交番塑性荷重の算定

2(2)と同様の変動くり返し荷重が作用するとき、図-1のラーメンのある断面に交番塑性応力が発生し、数百回のくり返して部材が破断するときの荷重、いわゆる交番塑性荷重を求めれば、以下のごとくである。

まず交番塑性による崩壊条件は次式で与えられる。

$$\sigma_{max} - \sigma_{min} \geq 2\sigma_y \quad (7)$$

ただし σ_{max} : ある荷重状態のある断面での最大線応力, σ_{min} : 他の荷重状態での同一断面での最小線応力, σ_y : 降伏点応力

一方、応力は $\sigma = M/S \pm N/A$ (S : 断面係数, A : 断面積) で与えられるゆえ、図-1の各点での σ_{max} および σ_{min} が表-1の諸値を用いて表-2のごとくえられる。

表-2 (丸/2L = 1/20)

	A	B	C	D	E	F	G
σ_{max}/σ_y	22.447W	16.243W	24.935W	6.527W	19.583W	0	37.231W
σ_{min}/σ_y	-22.911	-29.778	0	-5.891	-6.248	-36.301W	0
$(\sigma_{max} - \sigma_{min})/\sigma_y$	45.360	46.02	24.935	12.418	25.831	36.301	37.231
$W/A/M_p$	1.764	1.738	3.208	6.442	3.097	2.204	2.148

表-2よりB点で $(\sigma_{max} - \sigma_{min})$ が最大となることが分かるゆえ、結局これと式(7)を用いることにより所要の交番塑性荷重 W_R が求められることとなる。

3. 計算結果および考察

前記2(1),(2),(3)で導出した諸式を用いて、崩壊荷重 P_c 、変形硬心荷重 W_R および交番塑性荷重 W_R を電子計算機OKITAC-5090Hにより求めれば表-3がえられる。すなわち、

(1) 既往の研究(1)~(5)によれば、矩形ラ

メンおよび連続ボリニに対する $(W_R/P_c) \times 100\%$ は通常85%以内にあることが明らかになっているが、本列の山形ラーメンの (W_R/P_c) は100%、すなわち86%で、既往の研究結果と等しいといつておもしろい。

(2) また矩形ラーメンでは一般に W_R より W_R の方が小さく、したがってここに設計荷重として採用すべきであるが、表-2によれば (W_R/P_c) は100%、すなわち76%で、 W_R より W_R の方が大き

表-3

	曲げおよび軸力考慮	曲げのみ考慮	軸力の影響
崩壊荷重 P_c	2.278 MHL	2.285 MHL	0.3%
変形硬心荷重 W_R	1.778 MHL	1.980 MHL	0.1%
交番塑性荷重 W_R	1.738 MHL	1.782 MHL	2.5%

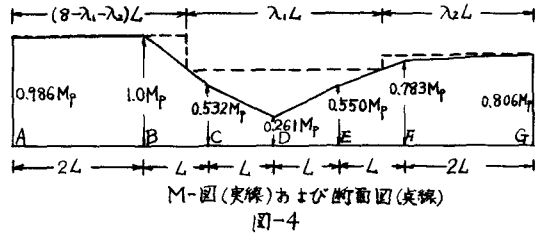
討すべきであり、この傾向はむしろアーチの結果と一致していることが分る。

(3)軸力の P_0 、 W_0 および W_n に与える影響はそれぞれ0.3%、0.1%および25%といずれも小さく、軸力の影響を無視しても差し支えないことが確認される。

4. 変断面設計法

3.で考察したごとく本例の山形ラーメンでは交番塑性荷重を設計基準とすべきこと、また軸力の影響が小さくこととを判明するゆえ、ここでは表-3の $W_n=1.782M_pL$ を採用し、これを用いて以下にSattlerの方法を拡張して変断面設計を行う。

まず、交番塑性崩壊はB点で起るゆえ、同点の曲げモーメントを基準($M_0=M_p$)とし、B点以外の曲げモーメントを γM_0 (γ = B点の交番塑性荷重/その点の交番塑性荷重)とすれば、図-4の実線のじときM-図がえられる。



つぎに、このM-図を包含するごとく階段状に実線を描き、かかるM-図をもつ断面を考えれば、重量函数 W_f は文献(3)より次式のごとく与えられる。

$$W_f = \sum M_p i L = \{ \delta - \lambda_1 - \lambda_2 + \mu \lambda_1 + 0.806 \lambda_2 \} M_p L \quad (8)$$

ただし μM_p : 変断面部での塑性曲げモーメント、 $\lambda_1 L, \lambda_2 L$: 変断面部の長さ

ここで式(8)の λ_1 および λ_2 は図-4の幾何学的関係よりそれぞれ μ の函数として次のごとく求められる。

$$\lambda_1 = 0.46\mu - 1.513, \quad \lambda_2 = 5.361 - 4.292\mu \quad (9)$$

よって未知数は μ のみとなるゆえ、式(8)に式(9)を代入のうえ、最小重量となる μ およびそのときの W_f を $dW_f/d\mu = 0$ および式(8)より算出すれば、結局次値がえられることとなる。

$$\mu = 0.563, \quad W_f = 6.5 M_p L \quad (10)$$

すなわち、交番塑性荷重を基準として変断面設計を行えば等断面($W_n = 8.0 M_p L$)の場合に比し、約19%の重量軽減が可能となることが分る。

5. 結語

本研究によって変動くり返し荷重をうける山形ラーメンの崩壊挙動が解明されることとなったが、同様の手法により円弧部材をもつラーメンの解析も可能となる。さらに、くり返し荷重による弾塑性変形なごびにひずみ硬化の影響を考慮した解析については目下研究中であり、今後逐次発表する予定である。

参考文献 1) J.F. Baker, M.R. Horne and J. Heyman: The Steel Skeleton Vol.2, Cambridge University Press, 1956

2) B.G. Neal: The Plastic Methods of Structural Analysis, Chapman & Hall, London, 1963

3) 本原博: 塑性設計法, 森北出版

4) K.Sattler: Die plastische Berechnung stählerner Biegegesteuerter Systeme mit Stäben veränderlichen Querschnitts, Bauingenieur, 35(1960) Heft 6.

5) J. Heyman: Automatic Analysis of Steel-Framed Structures under Fixed and Varying Loads, Proc. Inst. Civil Engrs., Jan. 1959

6) 福本・吉田: 変動くり返し荷重によるアーチの崩壊, 土木学会論文集, 第13号, 昭和44年7月